

氏 名(本籍) 川邊 隆大

学 位 の 種 類 博 士 ( 農 学 )

学 位 記 番 号 農 博 第 928 号

学位授与年月日 平 成 20 年 3 月 25 日

学位授与の要件 学位規則第 4 条第 1 項該当

研 究 科 専 攻 農学研究科応用生命科学専攻  
(博士課程)

学 位 論 文 題 目 シロイヌナズナの生殖過程において機能する遺伝子の分  
子遺伝学的研究

論 文 審 査 委 員 (主 査) 教 授 鳥 山 欽 哉  
(副 査) 教 授 西 尾 刚  
准教授 高 橋 英 樹

# 論文内容要旨

## 緒言

被子植物の多くは一つの花の中に雌蕊と雄蕊をもつ両性花であり、それらはそれぞれの器官において配偶体を形成し、有性生殖を行っている。この有性生殖の過程における雌雄の分化・発達機構や受精過程の解明には多くの興味が持たれている。近年、シロイヌナズナの突然変異体を用いた解析により、これらの分子機構の一部が明らかになってきている。

本研究ではシロイヌナズナを材料として、生殖過程における分子機構の更なる解明を目指し、雄性生殖器官発達における細胞死の解析を形質転換体を用いて行った（第1章）。また、不稔性を示す変異体のスクリーニングを行い、得られた変異体の解析を行った（第2章）。T-DNAタグラインや薬特異的に発現を示すジーン／エンハンサー・トラップラインなどで、雄性不稔個体のスクリーニングを行った。また、その過程において得られた変異体についての解析を行った（第3章）。

## 第1章 *Bax, AtBI-1* を発現させたシロイヌナズナの解析

葦のタペート組織は、花粉の発達において重要な組織であり、その発達過程において細胞死(PCD)を起こすことが知られている。そこで、人為的にタペート組織の細胞死を操作して花粉発達に及ぼす影響を調査した。動物において PCD のアクチベーターとして働く *Bax* と、それに拮抗的に働く *AtBI-1* を、葦のタペート組織での発現誘導時期の異なる二種類のプロモーターに連結し、シロイヌナズナに導入して形質転換体を作製した(Fig. 1-1, Table 1-1)。異なる発達ステージにおいて葦の切片を作成し、光学顕微鏡と透過型電子顕微鏡を用いてタペート組織の細胞を観察した(Figs. 1-2～1-5)。*Osg6B::Bax*, *Osg6B::AtBI-1* および *LTP12::AtBI-1* を導入した植物では雄性不稔体が得られた。*Bax* 導入によりタペート組織の細胞死が時期尚早に起こるか、あるいは、*AtBI-1* 導入により、細胞死が遅延することにより、花粉形成が阻害されたと考えられた。*LTP12::AtBI-1* を導入した植物の稔性は低下しなかった。1細胞期から発現誘導する *LTP12* プロモーターを用いた場合には、本来タペート組織が起こす PCD のシグナル伝達開始後に *AtBI-1* が発現し、その結果、タペート組織の細胞死が通常通りに起こり、花粉発達に影響せず正常な花粉が形成されたと考えられた。四分子期から発現誘導する *Osg6B* プロモーターを用いた場合、本来タペート組織が持つ PCD 始動前に *AtBI-1* が発現し、PCD が抑制され、タペート組織が崩壊しなかったため花粉不稔となったと考えられる。これらのことより、正常な花粉発達にはタペート組織の細胞死が必須であり、タペート組織の細胞死の時期が重要であることを明らかとした。また、PCD の始動シグナルが四分子期に存在することが示唆された。

## 第2章 不稔性を示す変異体の解析

### 第1節 シロイヌナズナ *transient defective exine 1 (tde1)* 変異体の解析

*tde1* 変異体は、花糸の伸長異常により自家受粉ができず、その結果、雄性不稔性を示す変異体である。球状のスポロポレニンが不均一に小胞子の細胞膜に蓄積するが、この異常は発達が進むに連れ消失することが明らかにされていた。この表現型から *transient defective exine1 (tde1)* と名付けられている。この変異は、劣性単一因子

により引き起こされることが明らかとなっているが、その原因遺伝子は不明であった。本研究では、マッピングによる原因遺伝子の同定を行った。(Fig. 2-1) その結果、第二染色体のマーカーCER449022 と CER449589 の間に同定することができた。塩基配列を比較した結果、*DET2* (*de-etiolated-2*)に変異が生じていた。さらに相補性実験により *tde1/det2* 遺伝子が原因遺伝子であることが分かった。*TDE1/DET2* 遺伝子は steroid 5  $\alpha$  reductase をコードしており、プラシノステロイド合成に関わっている。これらのことより、プラシノステロイドの花粉壁形成の関与が示唆された。

## 第 2 節 シロイヌナズナ *endan-butikowashi* (*ebi*) 雌性不稔変異体の解析

T-DNA タグラインより不稔性を示す変異体を同定した(Fig. 2-2)。*ebi* 変異体と野生株との交配の結果から、雌性側の原因により不稔性を示すことが分かった。この変異体を *endan-butikowashi*(*ebi*)と名付けた。

PCR により原因候補遺伝子を単離した結果、T-DNA が *EBI* 遺伝子の開始コドンから 78bp 上流に挿入されていることが分かった(Figs.2-3, 2-4)。モチーフ検索の結果、251 から 425 残基までの領域には機能未知のドメインDUF231 が保存されていた(Fig. 2-5)。このドメインを持つタンパク質は高等植物にだけみられ、シロイヌナズナのゲノムには DUF231 ドメインをもつ遺伝子は 46 個含まれていたが、機能欠損変異体の解析が報告されているものは *EBI* 遺伝子と相同性の低い 1 遺伝子のみであった (Fig. 2-6)。後代を展開した結果、その表現型の分離比が野生株型：変異株型 = 3 : 1 に分離したことから、劣性で引き起こされる変異であることが分かった (Table 2-1)。発現解析の結果、根、茎、ロゼット葉、カウリン葉、花序、開花直後の花、莢において発現しており、*EBI* 遺伝子は全身で発現していることが分かった (Fig. 2-7)。*EBI* 遺伝子の cDNA と Green Fluorescent protein(GFP)の cDNA を連結し、その融合タンパク質を一過的に発現させ、細胞内局在を調べた。GFP の蛍光は細胞全体で点状に観察されたことより、*EBI* タンパク質は細胞質内のオルガネラにおいて働いている可能性が考えられた (Fig. 2-8)。

## 第 3 章 シロイヌナズナ *atclp1* 変異体の解析

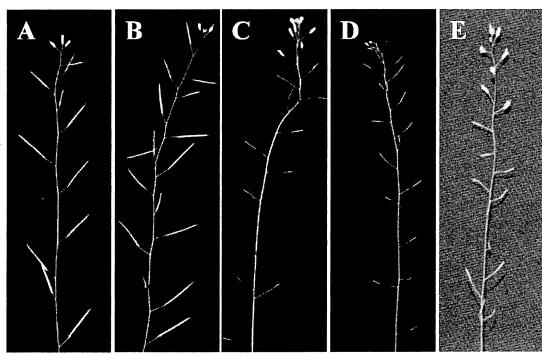
薬特異的に GUS 発現を示すジーン／エンハンサートラップラインにおいて稔性の調査を行ったが、稔性の低下がみられた系統は得られなかった。そこで、Table 3-1 で示すようにトラップされた遺伝子と相同性の高い遺伝子が破壊された場合に不稔性を示すか調査した。これらの系統で T-DNA がホモになっている系統の稔性を調査したが、不稔性を示した系統は得られなかった。しかし、T-DNA 挿入系統でホモ接合体が得られない系統が得られた。その系統は、At3g04680 に T-DNA が挿入されており、この遺伝子は酵母で明らかにされた pre-mRNA cleavage complex family protein (CLP1) と相同性を示したため、この遺伝子を *AtCLP1* と名付けた (Fig. 3-1)。自殖系統、及び T-DNA 挿入をもつ系統と野生型との相互交配による遺伝分析を行った。自殖系統後代における分離比は *AtCLP1/AtCLP1* : *AtCLP1/atclp1* : *atclp1/atclp1*=45:78:0 となり (Table 3-2)、相互交配において、雌性側からのミユータントアリルの伝達率低下が観られたが、雄性側に異常は観察されなかった (Table

3-3, Fig. 3-2)。微分干渉顕微鏡を用いて胚の発生過程を調べたところ、球状胚期において発生が停止している胚が観察され、これら異常の胚は発生後期のステージにおいて枯死することが観察された (Figs. 3-3, 3-4)。

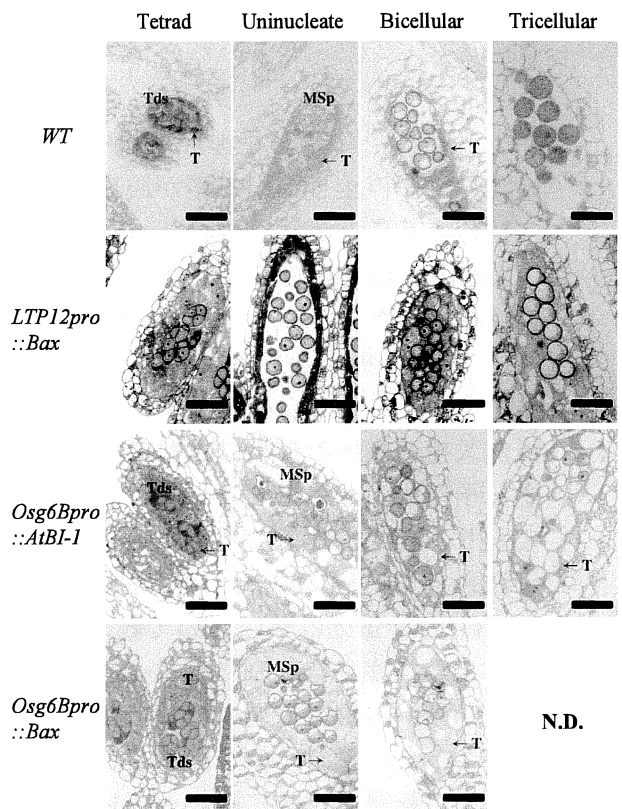
*AtCLP1* は 448 アミノ酸残基からなり、C 末に CLP1 ドメインと呼ばれる配列が保存されていた。このドメインを持つタンパク質は真核生物において広くみられ (Figs. 3-5, 3-6)、機能としては pre-mRNA の 3' 末端切断とポリアデニル化に関わっているとされている。シロイヌナズナには類似の遺伝子が 3 個存在していたが、これまで機能欠損変異体の解析はされていない (Figs. 3-7, 3-8)。発現解析の結果、*AtCLP1* 遺伝子は根、茎、ロゼット葉、カウリン葉、花序、開花直後の花、莢において発現しており、様々な器官で発現していることが分かった (Fig. 3-9)。*AtCLP1* 遺伝子の cDNA と GFP を連結し、その融合タンパク質を一過的に発現させ、細胞内局在を調べた。GFP の蛍光は核において観察されたことより、*AtCLP1* は核において機能していることが推察された (Fig. 3-10)。他のミュータントアリルも同様の表現型を示したことから、本研究で見いだした変異体の原因是 *AtCLP1* 遺伝子の機能欠損であることが分かった。これらのことより、*AtCLP1* タンパク質は胚発生において重要であり、遺伝子の転写後制御に関わっていることが推察された。

### 結語

シロイヌナズナを材料とし、細胞死と雄性生殖器官発達の関わりについて解析を行い、花粉発達には四分子期から起こるタペート組織の細胞死が必須であることを示した。3 系統の変異体を解析することにより、花粉壁構築に関わる *TDE1* 遺伝子、雌性生殖器官で機能する *EBI* 遺伝子、胚発生初期において必須な *AtCLP1* 遺伝子を明らかにした。本研究により、生殖機構における分子機構について新たな知見を得ることができた。



**Fig 1-1. Comparison of seed sets of the wild-type and transgenic plants.**  
 (A) A wild-type plant showing normal siliques.  
 (B) A *LTP12pro::AtBI-1* transgenic plant showing full seed sets.  
 (C) A *LTP12pro::Bax* transgenic plant with small siliques with no developing seeds.  
 (D) A *Osg6Bpro::AtBI-1* transgenic plant with small siliques with no developing seeds.  
 (E) A *Osg6Bpro::Bax* transgenic plant with small siliques with no developing seeds.

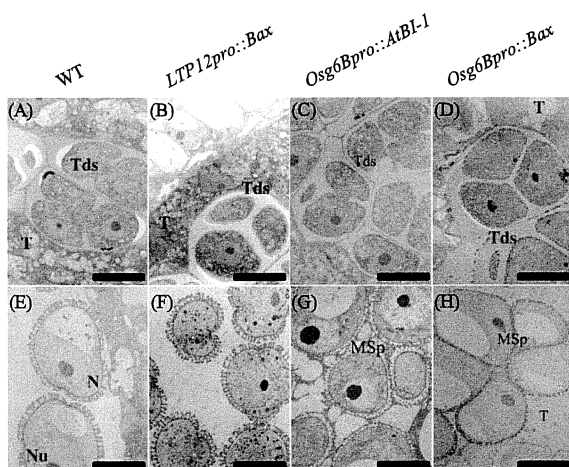


**Fig. 1-2. Anther development in the wild-type, *LTP12pro::Bax*, *Osg6Bpro::AtBI-1*, and *Osg6Bpro::Bax* plants. Tapetal cells are killed by *Bax* or sustained by *AtBI-1*, whereas PCD induces degeneration of tapetum in the wild-type. MSP, microspore; T, tapetum; Tds, tetrads; N.D., not determinant. Bars=20  $\mu$  m.**

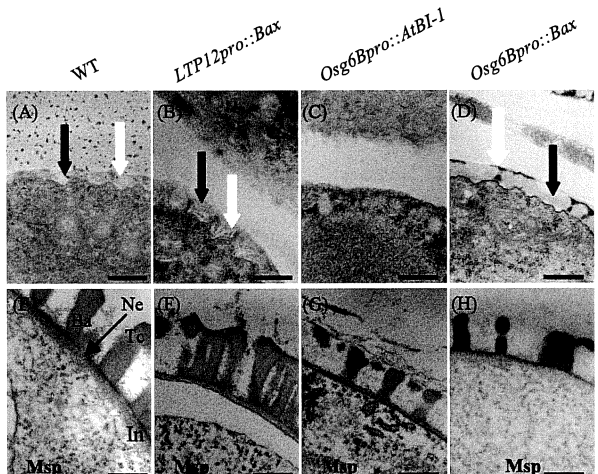
**Table 1-1. Sterile and fertile plants were obtained depending on the active stage of the promoter.**

Promoter (active stage in anther)	<i>Bax</i>	<i>AtBI-1</i>
<i>LTP12</i> (uninucleate to bicellular)	6/6	0/15
<i>Osg6B</i> (tetrad to bicellular)	4/4	8/11

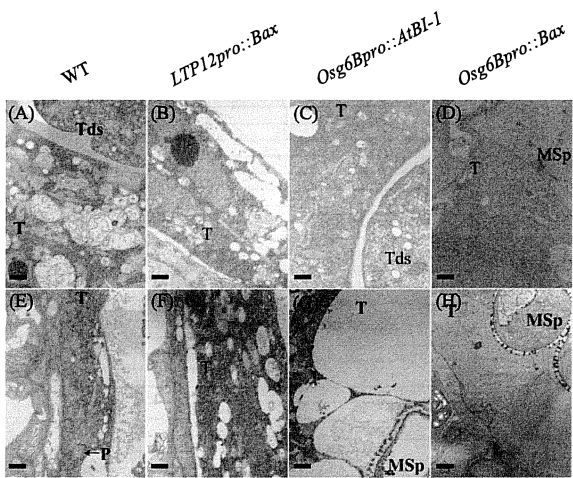
The number of male-sterile plant lines/total number of kanamycin-resistant transgenic *A. thaliana* lines with *LTP12::Bax*, *LTP12::AtBI-1*, *Osg6B::Bax* and *Osg6B::AtBI-1* are presented.



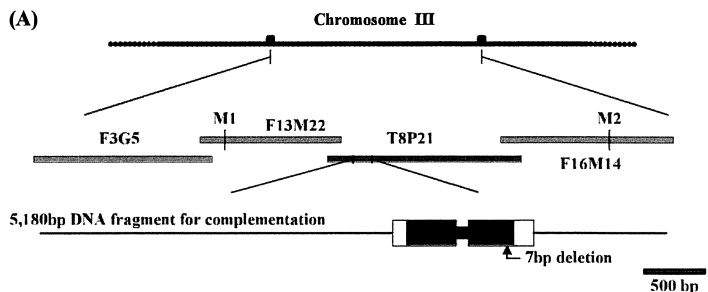
**Fig. 1-3. Analysis of pollen development in wild type and transgenic plants.** TEM images of the tetrad stage (A-D) and the uninucleate microspore stage (E-H). MSP, microspore; N, nucleus; Nu, nucleolus; T, tapetum; Tds, tetrads. Bars =5  $\mu$  m



**Fig. 1-4. Tapetal development in the wild-type and the transgenic plants.** TEM images of the tetrad stage (A-D) and the uninucleate microspore stage (E-H). MSP, microspore; P, plastid; T, tapetum; Tds, tetrads. Bars = 1.5  $\mu$  m



**Fig. 1-5.** Tapetal development in the wild-type and the transgenic plants. TEM images of the tetrad stage (A-D) and the uninucleate microspore stage (E-H). MSp, microspore; P, plastid; T, tapetum; Tds, tetrads. Bars = 1.5  $\mu$ m



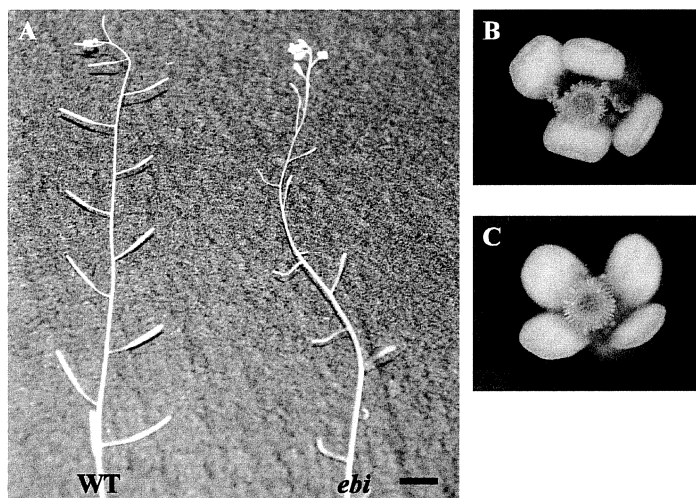
**Fig. 2-1. Identification of *TDE1/DET2* by positional cloning.**

(A) Schematic representation of the molecular identification of *TDE1* by positional cloning; 168 F<sub>2</sub> plants derived from a *tde/tde* x *Ler* cross (the *tde* mutation was in a Col-0 genetic background) were employed to delimit *TDE1* to a region of 223 kb between DNA markers CER449022 (M1) and CER449589 (M2). Open and filled boxes indicate untranslated regions and protein coding regions, respectively.

(B)

Wild-type 231 LFPRARASHKWYIAKFKEEYPKTRKAVIPFVY\*

*tde1* 231 LFPRARSSGTLPSRKSIPLRLVKLLFLLC\*



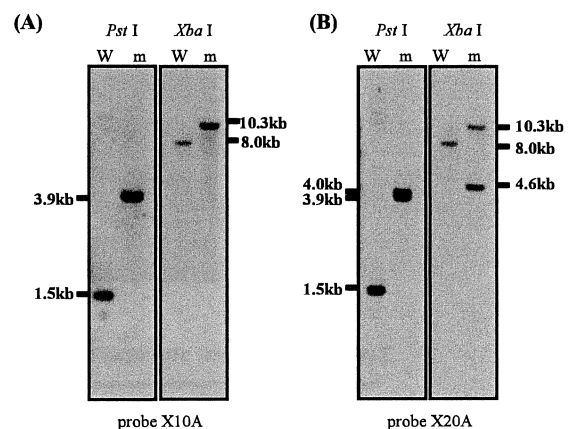
**Fig. 2-2. Comparison of the wild-type and the *ebi* mutant.**

(A) *EBI* loss-of-function mutant exhibit sterility. (B, C) A flower of the wild-type (B) and the *ebi* mutant (C) showing normal floral organs. Bar = 1cm.

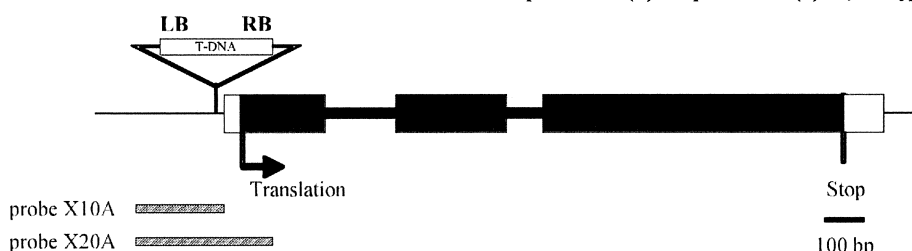
**Table 2-1. Segregation ratio of sterility in the *ebi* mutant.**

Generation	Fertile : Sterile
F2	93 : 23*
F3	49 : 19*
F4	70 : 26*

The ratio fits a theoretical ratio 3:1 in all generations of the *ebi* mutant. (Probability <0.05)



**Fig. 2-4. Detection of the T-DNA within the *EBI* gene by DNA Blot analysis using probe X10A (A) and probe X20A (B).** W, wild-type; m, *ebi* mutant.



**Fig. 2-3. Structure of the *EBI* gene and position of the T-DNA insertion.**

Schematic drawing of *EBI* locus. Open and filled boxes indicate untranslated regions and protein coding regions, respectively.

(A)

MKLKWESISNLQQNTYLIKLVAAATLITCLAFFVVFRFGQFSPVQVSVTGNS  
 NSQISPTSVILSDNEDQIPVDIEVEKCDLFTGKWIKDPLGIYTNESCGIVVD  
 AHQNCITNGRPDSGFNLWKWPNDCLSLPRFDLSRLQLMRNKSVAIJDSSI  
 ARNHVESLLCMLSTVEKPVEVYDENYRSKRWHFPSYNFTVSNIWSPFLV  
QADIFEDSNGVSSAAVQLHLDKLDNTWTDLFPSLDYAISSGE WFLKTA  
VYHENANPVGCHGCPESNMTDLGFDYAYNTSLRHVMDFIAKS KGMIFFR  
TSIPDHFEDEGEWHNGGTCKKTEPVGEEAVEMKVVLNKILRDVEINQFERVVT  
EMGOESENKLKLLDFAGMLLTRPDGHPGPYREFRPFDKDKNATVQNDCLH  
WCLPGPIDHLNDVILEIIVNGRTGK\*

(B)



Fig. 2-5. Sequence analysis of EBI.

(A) Deduced amino-acid sequence of EBI protein. The conserved domain of unknown function, DUF231 is underlined.  
 (B) Structure of EBI protein. DUF231 domain is shown.

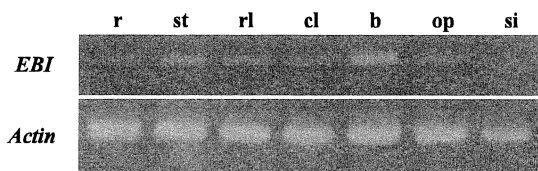


Fig. 2-7. Detection of *EBI* transcripts in the wild-type.

RT-PCR detection of the expression of the *EBI* gene in different tissues. The *actin* gene serves as a control. r, roots; st, stems; rl, rosette leaves; cl, caudine leaves; b, buds; op, opened flowers; si, siliques.

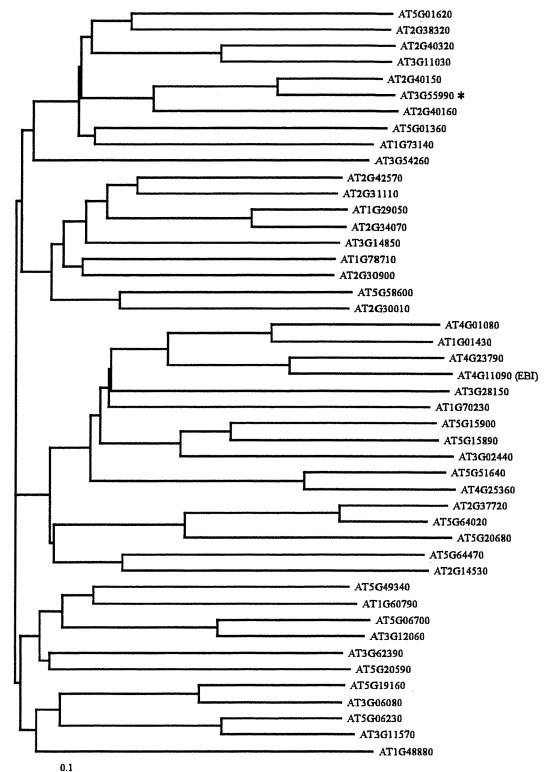


Fig. 2-6. Phylogenetic analysis of the *EBI* superfamily.

The Arabidopsis genome has 46 genes that shares significant homology with *EBI* (At4g11090). Loss of function analysis has been reported for a gene indicated by an asterisk.

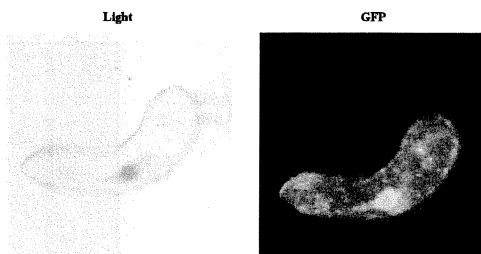


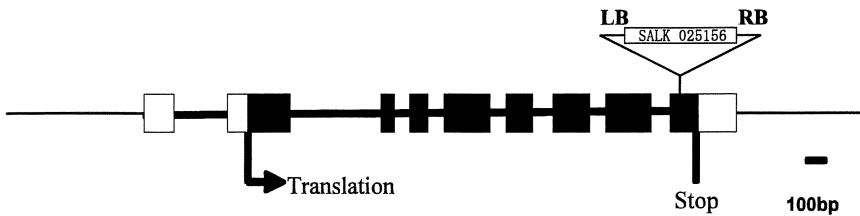
Fig. 2-8. Sublocalization of EBI protein.

The GFP fusion vector including EBI cDNA and GFP was delivered into tobacco BY-2 cells.

Table 3-1. Locus of gene with highly similar to the trapped gene in gene/enhancer trap lines and seed sets of each tag line.

ID of gene trap line	Locus of trapped gene (A)	Locus of gene with highly similar to trapped gene (B)	Annotation	Amino acid identity between (A) and (B)	Seed sets		
					Gene trap line of (A)	T-DNA tag line of (B)	
#1299	At5g23160	At5g08240	Expressed protein	45%	normal	normal	
#2126	At3g45240	At5g60550	Serine/threonine protein kinase	67%	normal	normal	
#10659	At2g31985	At1g05510	Expressed protein	93%	normal	normal	
#18257	At5g39930	At3g04680	Pre-mRNA cleavage complex family	65%	normal	*	

\* ; homozygous plant not obtained.



**Fig. 3-1. Schematic representation of the structure of the *AtCLP1* gene and position of the T-DNA insertion.**  
Open and filled boxes indicate untranslated regions and protein coding regions, respectively.

**Table 3-2. PCR genotyping of progeny of a plant heterozygous for *atclp1*.**

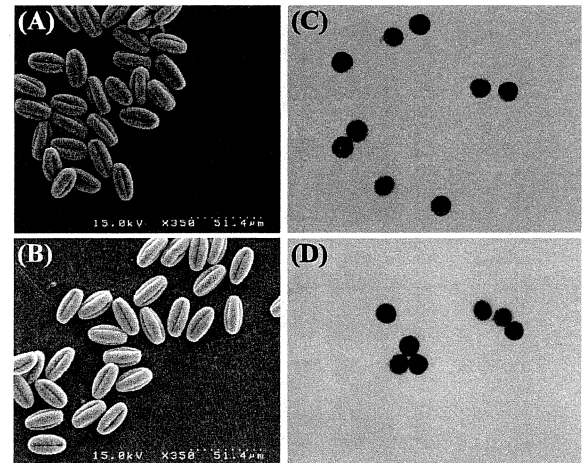
Parent genotype	Progeny genotype		
	<i>AtCLP1 / AtCLP1</i>	<i>AtCLP1 / atclp1</i>	<i>atclp1 / atclp1</i>
<i>AtCLP1 / atclp1</i>	45(36.6)	78(63.4)	0

The number of plants is shown with the percentage in parenthesis.  
The ratio fits to 1:2:0 segregation based on  $\chi^2$  test. ( $\chi^2=0.585$ , P<0.05))

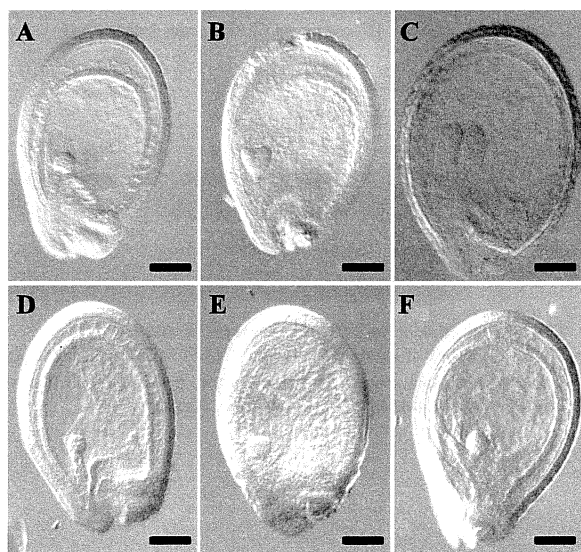
**Table 3-3. Transmission efficiency of the *atclp1* allele.**

Female parent genotype	Male parent genotype	Genotype of F1 plants	
		<i>AtCLP1 / AtCLP1</i>	<i>AtCLP1 / atclp1</i>
<i>AtCLP1 / atclp1</i>	<i>AtCLP1 / AtCLP1</i>	55(61.1)	35(38.9)
<i>AtCLP1 / AtCLP1</i>	<i>AtCLP1 / atclp1</i>	95(57.2)	71(42.8)

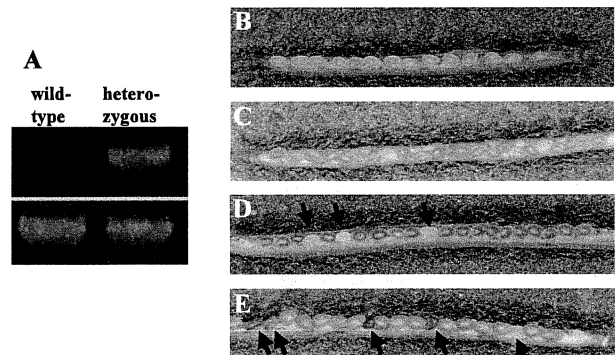
The number of plants is shown with the percentage in parenthesis.  
The ratio of female transmission efficiency is significantly different from the expected ratio of 1:1.



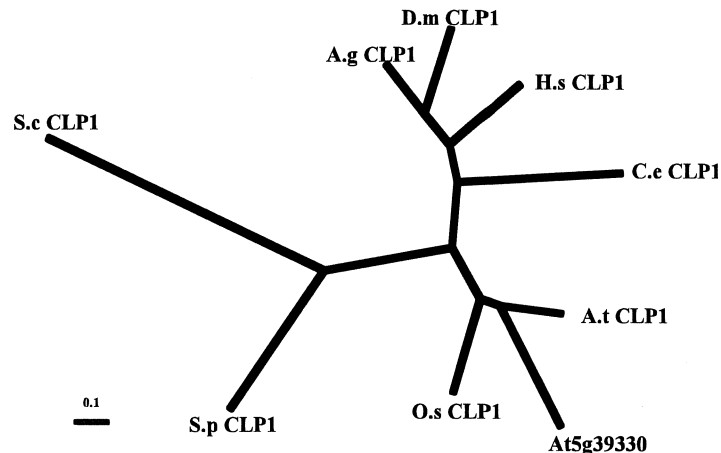
**Fig. 3-2. Pollen grains from the wild-type (A,C) and the heterozygous *atclp1* plant (B,D) anthers.**  
SEM images (A and B) and Alexander stain of pollen grains (C and D).



**Fig. 3-3. Nomarski microscopic images of the wild-type embryos (A-C) and the homozygous *atclp1* embryos (D-F) removed from self-pollinated siliques of the heterozygous *atclp1* plant.**  
The embryos are observed at globular (A and D), heart (B and E) and torpedo (C and F) stages.  
Bars=40μm



**Fig. 3-4. Phenotype of the wild-type and the heterozygous *atclp1* plant.**  
(A) PCR analysis to detect T-DNA insertion in the WT and the heterozygous *atclp1* plant. (Upper) Amplified bands representing the sequence between the left end of the T-DNA and the fifth exon of *AtCLP1*. (Lower) Amplified bands representing the sequence between the fifth exon and the ninth exon of *AtCLP1*.  
(B-E) Phenotype of the wild-type (B and C) and the heterozygous *atclp1* plant (D and E). Stereo microscopic images of immature siliques (B and D) and mature siliques (C and E). Arrow heads indicate aborted seeds.



**Fig. 3-6. Phylogenetic tree of the CLP1 family members generated by a neighbor-joining method.** See Fig. 3-5 for abbreviations.

**Fig. 3-5.** AtCLP1 is evolutionarily conserved and has CLP1 domain (Pfam PF06807).

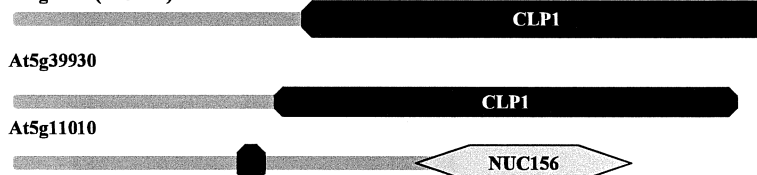
The alignment of *A. thaliana* (At3g04680), *O. sativa* (O. s.), *A. gambiae*(A. g.), *C. elegans*(C. e.) *D. melanogaster* (D. m), *H. sapiens* (H. s.), *S. cerevisiae* (S. c) CLP1 sequences are generated using ClustalX

(A)

MA YGGPSMNPPALSGA VPGSANLKQVKLESES ELSIEVSEEP LSLRVVNG  
TAEIFGSELPPMEMWRTFPFRMKFAVFTWYGA TIEMDGVTETDYTADETPM  
VSYINVHAMDASSRFAKASTSNDPESSQGPRVIVVGPTDSGKSTLTKML  
LSWA AKQGWSPTFV DLDVQGQSITMPGSIAA APIEMLDPVEGFPLDMAL  
VYYYGHASPNMNVELYKALV KELAQVLKOFVGNPESRAAGMVINTMG  
WIEGIGYELLHAMDTFNASVVLWLGQKEFLFSSLKDVLSSKS NVDVVKL  
HKSGVVAVSKVERKSSSNFKIQEYFYGLSKELSPYANTSSFSDSLQVFR  
GGGPQAKPSALPAGSTS VSNPLRVTVPNJDRLDLHSVLA VSYAEEPDQ  
IISSNVSGFVYVTEVNOKKKMTYLAPSPGTLP SKLLVAGSLA WLESVW

(B)

At3g04680(*AtCLPI*)

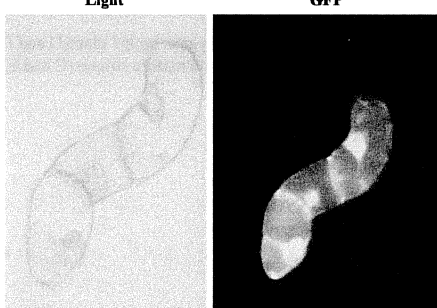


**Fig. 3-7. Deduced amino acid sequence of AtCLP1(At3g04680).**

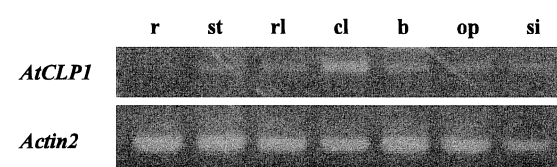
(A) The conserved CLP1 domain (amino acids 168-444) is underlined.  
 (B) Schematic representation of AtCLP1 and similar proteins.

Light

GEF



**Fig. 3-10. Nuclear localization of AtCLP1.**  
The GFP fusion vector including AtCLP1 cDNA and GFP



**Fig. 3.8** Detection of AtG1B1 transcripts in the wild-type

**Fig. 3-9. Detection of AtCLP1 transcripts in the wild-type.**  
 RT-PCR detection of the expression of the *AtCLP1* in different tissues. *Actin2* transcripts were analyzed as a control. r, roots; st, stems; rl, rosette leaves; cl, cauline leaves; b, buds; op, opened flowers; si, silique.

# 論文審査結果要旨

植物の生殖は種子・果実・切り花生産等に直結する形質であることから、古くから農学的な研究対象となってきた。近年、有性生殖の過程における雌雄の分化や胚発生過程は、シロイヌナズナの突然変異体を用いた解析から、その分子機構の一端が明らかにされつつある。

本研究では、シロイヌナズナを材料として、生殖過程における分子機構の更なる解明を目指したものである。第1章では雄性生殖器官発達における細胞死の解析を形質転換体を用いて行った。発現誘導時期の異なるプロモーターを2種類用い、さらに、細胞死を誘導する遺伝子BAXとそれと拮抗的に働く遺伝子AtBI-Iを用いたユニークな研究である。その結果、正常な花粉発達にはタペート組織の細胞死が必須であり、タペート組織の細胞死の時期が重要であることを明らかにした。また、プログラム細胞死の始動シグナルが四分子期に存在することを初めて示唆した。

第2章ではシロイヌナズナの突然変異体を解析し、雄性不稔を示すtde1変異体と雌性不稔を示すebi変異体を同定し、それぞれの原因遺伝子をクローニングした。TDEI遺伝子はプラシノステロイド合成に関わる遺伝子であり、花糸伸長と花粉壁合成にプラシノステロイドが関与することを示唆した。EBI遺伝子は機能未知のDUF231ドメインを持つ遺伝子であることを示した。EBI変異体は、雌性器官の形態に異常がみられないが、胞子体型の雌性不稔を示すことを明らかにした。このような雌性不稔を示す変異体はこれまでほとんど報告されていないユニークなものである。

第3章では胚発生致死を示す変異体atclp1を発見し、その原因遺伝子のクローニングを行った。ATCLP1はC末にCLP1ドメインが保存されていた。このドメインを持つタンパク質はpre-mRNAの3'末端切断とポリアデニル化に関わる複合体のサブユニットを構成している。植物においてこの複合体を構成する遺伝子の機能欠損変異体の解析はこれまで報告されておらず、本研究が始めての報告である。ATCLP1タンパク質が胚発生において重要であることを示すとともに、普遍的な遺伝子の転写後制御の研究に貢献するものである。

以上のように本研究はシロイヌナズナの生殖機構における分子機構について新たな知見を与えるものである。これらの知見は、生殖を通じた農学的研究の発展に多いに貢献するものである。また、バイオテクノロジーを用いた農作物の品種改良にも応用できる。よって審査員一同は、本論文は博士（農学）の学位を授与するに値するものと判断した。